

ИЗМЕНЕНИЕ КОНЦЕНТРАЦИИ АТОМОВ БОРА И ФОСФОРА В УЗЛАХ РЕШЕТКИ КРЕМНИЯ ПРИ ОБЛУЧЕНИИ ЭЛЕКТРОНАМИ

Ахметов В. Д., Болотов В. В., Камаев Г. Н., Смирнов Л. С.

Проведены ИК спектрометрические исследования изменения концентрации узлового бора (B_s) и фосфора (P_s) в узлах решетки кремния при облучении электронами с энергией 3.5 МэВ в температурном интервале $20\text{--}700^\circ\text{C}$. Показано, что во всем диапазоне температур концентрация легирующих примесей в узлах с дозой облучения уменьшается. Анализ результатов для температур облучения ниже и выше температуры отжига вакансационных комплексов с легирующими примесями позволяет сделать вывод об эффективном взаимодействии атомов B_s и P_s с междоузельными атомами кремния во всем исследованном температурном интервале. Отсутствие изменений концентрации B_s и P_s при $T \geq 700^\circ\text{C}$ свидетельствует о достижении стационарной концентрации примесей в узлах и междоузлиях для данных условий облучения.

В настоящее время установлено, что облучение высокогенеретическими электронами приводит, начиная с температур жидкого гелия, к вытеснению акцепторных примесей из узлов в междоузельное положение (реакция Уоткинса) [1]. Недавние результаты, полученные нами методом ИК спектроскопии [2], показывают наличие реакции с междоузельными атомами кремния и для атомов фосфора. При этом получены экспериментальные указания на то, что формируются междоузельные комплексы, включающие в себя атомы фосфора. Поскольку количество примеси, оставшейся в междоузельном положении, зависит от темпа двух реакций — вытеснения атомов примеси в междоузельное положение и обратного растворения их в вакансиях



то изменение числа свободных I и V за счет распада слабо связанных комплексов при температурах облучения, когда концентрация равновесных I и V еще низка, должно существенно влиять на результирующую концентрацию примеси в междоузельном положении.

В соответствии с этим целью данной работы было исследование кинетики изменений концентрации примеси бора и фосфора в замещающем положении в решетке кремния в зависимости от температуры облучения.

Методика эксперимента

Эксперименты проводились на кремнии, выращенном по методу Чохральского с $\rho = 1 \text{ Ом}\cdot\text{см}$. Концентрации легирующих примесей, углерода и кислорода в исследуемых материалах, полученные по данным ИК спектроскопии, приведены в табл. 1. Образцы облучались электронами с энергией 3.5 МэВ в температурном интервале $20\text{--}700^\circ\text{C}$. Плотность тока электронов составляла 1 мА/см².

Концентрации B_s , P_s в узлах после облучения определялись из совместных измерений ИК поглощения на электронных переходах в водородоподобной

Таблица 1
Содержание примесей в исследуемом кремнии

| Материал | Концентрация легирующей примеси $\cdot 10^{-18}$, см $^{-3}$ | Концентрация углерода в узлах $\cdot 10^{-15}$, см $^{-3}$ | Концентрация междуузельного кислорода $\cdot 10^{-18}$, см $^{-3}$ |
|----------|---|---|---|
| КЭФ-1 | 0.6 | $\leq 3 \div 6$ | $1.2 \div 1.6$ |
| КДБ-1 | 2.6 | 70 | 0.4 |

серии, обусловленной мелкими уровнями фосфора и бора в узлах при $K=318$, 325 см^{-1} соответственно [3], и эффекта Холла. Температура измерений составляла $T=78\text{ K}$. Расчет концентрации фосфора и бора в узлах проводился по формулам

$$N_p = \frac{\sigma_p S}{f_s}, \text{ см}^{-3}, \quad N_B = \frac{\sigma_B S}{1 - f_s}, \text{ см}^{-3},$$

где f_s — функция заполнения уровня электронами при 78 K , рассчитанная на основе холловских измерений в приближении слабой компенсации [4]; S , см $^{-2}$ — площадь под полосой поглощения, определяемая из пересчета спектров ИК пропускания на спектры поглощения; σ_p , σ_B , см $^{-1}$ — калибровочные множители, вычисленные из экспериментальных данных ряда измерений исходных образцов. Погрешность определения концентрации примеси B , и P , составляет $\sim 15\%$ [2].

Величины калибровочных множителей составляют

$$\sigma_B = 5.4 \cdot 10^{13} \text{ см}^{-1}, \quad \sigma_p = 3.7 \cdot 10^{13} \text{ см}^{-1}.$$

Спектры ИК пропускания регистрировались на двухлучевом спектрофотометре ИКС-22В. Омические контакты для электрофизических измерений изготавливались нанесением золота в электрическом разряде и втиранием индий-галлиевой пасты.

Результаты и их обсуждение

1. *p-Si(B)*. Дозовые зависимости изменения концентрации бора в узлах при различных температурах облучения приведены на рис. 1, а. Видно, что во всем исследуемом интервале температур облучения $20 \div 700\text{ }^{\circ}\text{C}$ наблюдается уменьшение концентрации атомов бора в замещающем положении с ростом дозы электронов. Сравнение концентрации свободных дырок (рис. 1, б) с концентрацией бора после облучения при различных температурах (рис. 1, а) показывает практически полное соответствие между убылью бора в узловом состоянии и убылью концентрации дырок. Поэтому следует считать, что изменение электропроводности *p-Si* при облучении обусловлено уменьшением концентрации акцепторных состояний бора, а продукты комплексообразования с бором в *p-Si* электронейтральны. Изменение концентрации атомов бора в узлах для различных $T_{об.}$ (рис. 2) достигает максимального значения при $T_{об.} \sim 180 \div 200\text{ }^{\circ}\text{C}$.

Основными реакциями взаимодействия первичных дефектов с B , являются: 1) образование комплексов с вакансиями (B_V) и 2) вытеснение бора из узлов междуузельными атомами кремния [1]. Поскольку комплексы B_V нестабильны при $T > 300\text{ K}$ [5], следует считать, что уменьшение концентрации B , связано прежде всего с вытеснением атомов бора из узлов.¹

Попадая в междуузельное положение, атомы бора могут создавать комплексы B_2B (стабильные до 370 K) и междуузельные кластеры типа B_I [6, 7]. На наличие таких кластеров указывает резкое падение низкотемпературной под-

¹ Вытеснение акцепторной примеси из узлов (реакция Уоткинса [1]) обнаружено при температурах жидкого гелия и при $\sim 300\text{ K}$, поэтому очевидна существенность этой реакции и при $\simeq 200 \div 700\text{ }^{\circ}\text{C}$.

вижности дырок ($T_{\text{изм}} \sim 77$ К) в диапазоне температур облучения, соответствующих максимальной эффективности удаления B_s ($20 \div 200$ °C) (табл. 2).

Как уже отмечалось, результирующее количество атомов бора в междоузлиях определяется реакциями (1) и (2). Наблюдаемое повышение эффективности

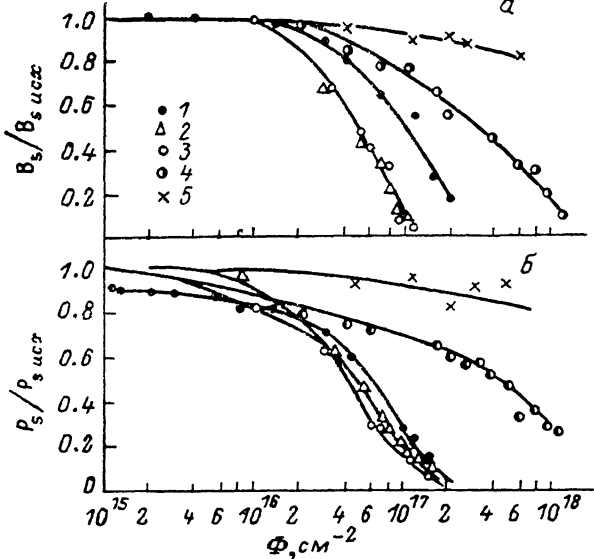


Рис. 1. Дозовые зависимости изменения концентрации атомов бора в узлах (α) и дырок (β).
 $T_{\text{обл}}, ^\circ\text{C}: 1 - 20, 2 - 180, 3 - 290, 4 - 400, 5 - 700.$

удаления бора при увеличении температуры облучения от комнатной до 300 °C может быть связано с относительным увеличением темпа реакций междоузельных атомов с бором по сравнению с темпом реакции растворения междоузель-

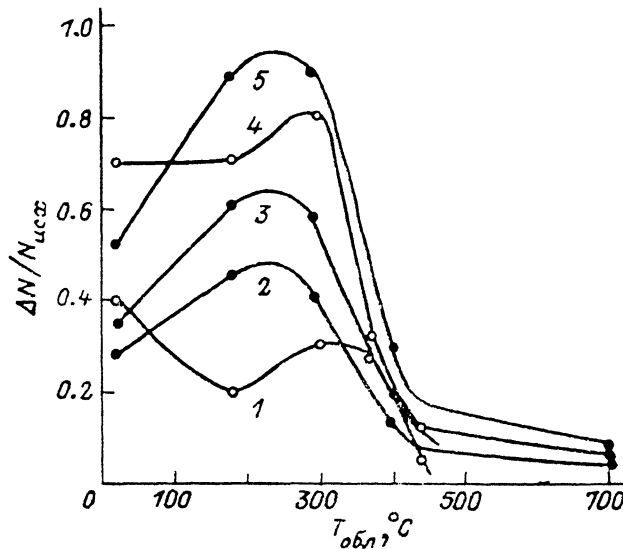


Рис. 2. Влияние температуры облучения на изменение концентрации атомов бора (2, 3, 5) и фосфора (1, 4) в узлах.

Дозы облучения $\cdot 10^{-16}, \text{ см}^{-2}$: 1 — 1, 2 — 4, 3 — 6, 4 — 2, 5 — 10.

ных боросодержащих комплексов в вакансиях. Спад эффективности удаления бора из узлов при дальнейшем повышении температуры облучения до 400–700 °C вызван, по-видимому, термической нестабильностью междоузельных боросодержащих комплексов и растворением атомов бора в узлах.

Таблица 2

Подвижность свободных носителей в кремнии ($T_{\text{нзм}}=77 \text{ К}$) в зависимости от температуры облучения *

| Материал | $\Phi \cdot 10^{-17}, \text{см}^{-2}$ | $T_{\text{обл}}, \text{°C}$ | $\mu \cdot 10^{-3}, \text{см}^2/\text{В} \cdot \text{с}$ |
|-----------------|---------------------------------------|-----------------------------|--|
| <i>p</i> -Si | 1.5 | 20 | 0.78 |
| | | 180 | 0.03 |
| | | 290 | 0.10 |
| | | 400 | 2.05 |
| | | 700 | 4.20 |
| <i>n</i> -Si<P> | 0.24 | 20 | — |
| | | 180 | 1.064 |
| | | 300 | 0.268 |
| | | 370 | 5.30 |
| | | 500 | 7.60 |

Примечание. * До облучения $\mu_n \approx 9100$, $\mu_p \approx 4300 \text{ см}^2/\text{В} \cdot \text{с}$.

2. *n*-Si<P>. Из рис. 3 видно, что в процессе облучения идет уменьшение концентрации атомов фосфора в узлах при всех использованных $T_{\text{обл}}$. Причем, если $T_{\text{обл}} \leqslant 300 \text{ °C}$, концентрация P_s уменьшается во всем диапазоне доз облучения, а для $T_{\text{обл}} > 300 \text{ °C}$ дозовые зависимости имеют участки насыщения, по-

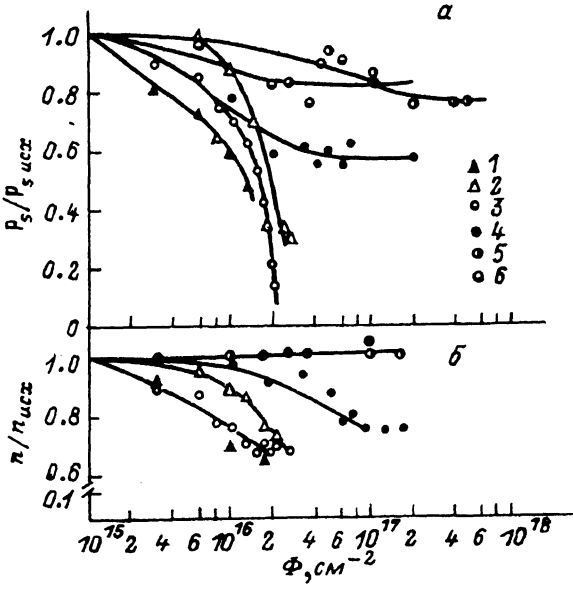


Рис. 3. Дозовые зависимости изменения концентрации атомов фосфора в узлах (а) и электронах (б).

$T_{\text{обл}}, \text{°C}: 1 - 20, 2 - 180, 3 - 300, 4 - 370, 5 - 440, 6 - 500$.

казывающие существенность процессов восстановления электрической активности атомов фосфора. Проведенные методом DLTS измерения показали, что концентрация A -центров (V_2) в температурном интервале выше 300 °C снижается, а концентрация E -центров при $T_{\text{обл}} > 150 \text{ °C}$ из-за термической диссоциации становится пренебрежимо малой. Вновь образующиеся дефекты неизвестной природы (уровни $E_c - 0.18; E_c - 0.22; E_c - 0.23; E_c - 0.3; E_c - 0.36; E_c - 0.42 \text{ эВ}$) содержатся в концентрациях, не превышающих 10^{14} см^{-3} , что значительно ниже изменений концентрации P_s . Поэтому можно предположить, что, как и при облучении при 20 °C [2], в основном с участием атомов фосфора формируются дефекты междуузельного типа, не имеющие глубоких уровней в верхней половине запрещенной зоны. По аналогии с кремнием *p*-типа наблюдаемое снижение подвижности электронов ($T_{\text{нзм}} \approx 77 \text{ K}$) после облучения при температурах $20 \text{--} 500 \text{ °C}$ можно объяснить тем, что в результате облучения в кремнии *n*-типа

300 °C (табл. 2) может быть интерпретировано как рассеяние на междоузельных дефектах. Данные на рис. 2 и 3 показывают снижение скорости удаления фосфора из замещающего положения при $T_{об.1} > 300$ °C, что, вероятно, обусловлено нестабильностью междоузельных дефектов и растворением P_I в вакансиях.

Из сравнения данных на рис. 3, а и б следует, что эффективность удаления фосфора из узлов выше, чем свободных электронов во всем температурном интервале $T_{об.1}$, что свидетельствует об образовании при облучении донорных центров. Сравнивая удаление фосфора и носителей при разных $T_{об.1}$, можно заключить, что с повышением температуры до 300 °C идет рост концентрации вводимых донорных центров радиационного происхождения, а при $T_{об.1} > 300$ °C — их спад.

Таким образом, на основе прямых измерений впервые исследовано изменение концентрации атомов бора и фосфора в узлах решетки кремния в зависимости от температуры облучения. Полученные результаты интерпретированы исходя из наличия двух процессов: 1) «реакции Уоткинса» и появления междоузельных комплексов, содержащих легирующие примеси; 2) растворения междоузельной примеси в вакансиях при достаточно высоких температурах. Отсутствие изменений концентрации примесей B_3 и P_3 при высоких температурах облучения показывает, что их концентрация близка к стационарной для условий облучения.

В заключение авторы благодарят А. В. Карпова за помощь в измерениях методом DLTS.

Список литературы

- [1] Watkins G. D. // Inst. Phys. Conf. Ser. N 23. London—Bristol, 1975. P. 1—22.
- [2] Болотов В. В., Камаев Г. Н., Смирнов Л. С. // ФТП. 1988. Т. 22. В. 2. С. 210—214.
- [3] Ramdas A. K., Rodrigues S. // Rep. Prog. Phys. 1981. V. 44. N 12. P. 1297—1387.
- [4] Киреев П. С. Физика полупроводников. М., 1969. 592 с.
- [5] Kimerling L. S. // Inst. Phys. Conf. Ser. N 31. London—Bristol, 1977. P. 221—230.
- [6] Laitwaite K., Newman R. S., Totterdell D. H. J. // J. Phys. C: Sol. St. Phys. 1975. V. 8. N 2. P. 236—242.
- [7] Akhmetov V. D., Bolotov V. V. // Phys. St. Sol. (a). 1982. V. 72. N 1. P. 61—68.

Институт физики полупроводников СО АН СССР
Новосибирск

Получена 30.03.1989
Принята к печати 11.08.1989